

Г.Г.Асеев

## ПОТЕНЦИАЛ МЕЖЧАСТИЧНЫХ ВЗАИМОДЕЙСТВИЙ В КОНЦЕНТРИРОВАННЫХ РАСТВОРАХ ЭЛЕКТРОЛИТОВ: ЭЛЕКТРОСТАТИЧЕСКИЕ СИЛЫ

Получен потенциал межчастичных взаимодействий в концентрированных растворах электролитов в стационарном состоянии, учитывающий электростатические, сольватационные (гидратационные) взаимодействия, силы Ван-дер-Ваальса и слабые химические связи, возникающие между гидратными оболочками.

Существующие эмпирические и полуэмпирические методы расчета хотя и позволяют с высокой точностью определить физико-химические свойства водных концентрированных многокомпонентных растворов электролитов [1–3], требуют математической обработки громадного экспериментального материала и не дают представления о строении и характере взаимодействий в растворе вода—ион.

Во многих “физических” теориях, одной из весьма цитируемых до настоящего времени есть теория Дебая–Хюкеля, рассматривающая определенную закономерную упорядоченность расположения субстратов в хозяине, а основополагающими моментами является понятие ионной атмосферы и ее толщины. Под ионной атмосферой понимается, что каждый субстрат оказывается окруженным определенной плотностью электрических зарядов и считается, что свойства растворов сильных электролитов зависят от соотношения электростатических сил ионных полей, обусловленных только их зарядами. Учет ион-дипольных и диполь-дипольных взаимодействий не ведется. Такие концепции правильно описывают разбавленные растворы электролитов.

Будем представлять строение и особенности водного раствора электролита, используя структурно-термодинамический подход [4]. Структура и свойства растворов электролитов зависят от взаимодействий между рецепторами растворителя и субстратами ионов [5, 6]. Первоначальное растворение субстрата гостя оказывает наибольшее влияние на взаимодействие рецепторов хозяина — вокруг субстратов ионов формируется предорганизация хозяина в соответствии с комплементарностью на основе хелатного и макроциклического эффектов, определяемой

сольватированным гостем и сеткой Н-связей хозяина. Образуются комплексы в исходной сетке воды. Дальнейшее добавление гостя приводит к последовательному нарушению Н-связей хозяина, которые обусловливаются образованием супермолекул (агрегатов комплексов). Активация потери структуры хозяина происходит при концентрациях гостя, соответствующих образованию супрамолекулярных ансамблей (суперкомплексов), то есть, в общем случае, это полимерные водные расплавы кристаллогидратов или солей, гидроксидов и кислот. Формирование супермолекул и супрамолекулярных ансамблей при последующем повышении концентрации электролита приводят к такой предорганизации хозяина, когда при связывании не происходит ни энтропийно ни энталпийно невыгодных перестроек, которые понижали бы полную свободную энергию комплексообразования. В концентрированных зонах электролитов первичная структура воды полностью нарушена и стерические и многие другие факторы играют определяющую роль в процессах новой предорганизации хозяина. Структура супрамолекулярных ансамблей определяется закономерностями координационной химии, при которых молекулы воды выступают как равноправные лиганды.

*Постановка задачи.* В стационарном состоянии зоны разбавленных растворов, ионы растворителя располагаются по регулярной структуре со сферической симметрией. Между катионами и анионами возникают дальнодействующие силы электростатического взаимодействия. Из уравнения Максвелла для электростатических полей выводится уравнение электростатической части потенциала межчастичного взаимодействия между ионами гостя ( $\psi_{el}^0$ ). Для опи-

сания массовых содержаний солей от разбавленных до концентрированных при выводе уравнения потенциала межчастичных взаимодействий учитываются различные флуктуации концентраций ионов вблизи рассматриваемого статистиками Максвелла–Больцмана, Ферми–Дирака, Бозе–Эйнштейна.

В отличие от предыдущих различных публикаций по этому направлению в потенциал межчастичных взаимодействий супрамолекулярной структуры хозяин—гость включаются не только электростатические силы, но и различные ионно-дипольные взаимодействия, силы Ван-дер-Ваальса, межчастичные слабые водородные связи и силы отталкивательного характера. В данной работе рассматриваются подробно электростатические взаимодействия.

*Потенциал межчастичных взаимодействий.* В первую очередь, исходя из постановки задачи, необходимо определение функций распределения  $f_{ij}$  и  $f_{ji}$ , которые должны быть применимы к растворам электролитов в общем случае, независимо от того, находятся ли эти растворы в равновесном или возмущенном состоянии. Эти факторы не являются взаимно независимыми. Была получена функция распределения для нестационарных полей, а затем в предельном переходе — для стационарных [7], и мы будем использовать полученные выражения в нашем рассматриваемом случае.

В агрегате хозяин—гость содержатся электрические заряды, находящиеся неподвижно, соотношение между напряженностью электрического поля, создаваемой этими зарядами, и плотностью заряда описывается уравнением Максвелла для электростатических полей:

$$\operatorname{div} \epsilon_S \epsilon_0 E^0 = \rho_{sr}^0, \quad (1)$$

где  $\epsilon_S$  — диэлектрическая постоянная раствора (о ней мы поговорим в последнем подразделе);  $\epsilon_0$  — электрическая постоянная, равная  $8.85 \cdot 10^{-12} \text{ Ф/м}$ ;  $E^0$  — напряженность электрического поля, в/м;  $\rho_{sr}^0$  — объемная плотность электрического заряда, Кл/м. Здесь и в дальнейшем значок " $0$ " обозначает стационарное состояние среды.

Согласно этому уравнению, дивергенция напряженности электрического поля в любой точке среды пропорциональна плотности заряда в этой точке. В растворе электролита плот-

ность заряда на расстоянии  $r_{ij}$  от  $i$ -ионов равна  $n_{i,sr}^0 |z_{je}|$ , а от  $j$ -ионов —  $n_{j,sr}^0 |z_{ie}|$ .

Суммарная плотность заряда записывается следующим образом:

$$\rho_{sr}^0 = n_{i,sr}^0 |z_i|e - n_{j,sr}^0 |z_j|e. \quad (2)$$

Уравнение Максвелла (1) для раствора электролита с выражением (2) приобретает вид:

$$\operatorname{div} E^0 = \frac{1}{\epsilon_S \epsilon_0} (n_{i,sr}^0 |z_i|e - n_{j,sr}^0 |z_j|e). \quad (3)$$

Для учета различных флуктуаций ионов будем считать, что они подчиняются статистикам Максвелла–Больцмана:

$$n_{i,sr}^0 = n_i \exp\left(-\frac{U_{ij}}{kT}\right), \quad n_{j,sr}^0 = n_j \exp\left(-\frac{U_{ji}}{kT}\right), \quad (4)$$

Ферми–Дирака:

$$\begin{aligned} n_{i,sr}^0 &= \frac{n_i}{[\exp(-U_{ij}/kT) + 1]_i}, \\ n_{j,sr}^0 &= \frac{n_j}{[\exp(-U_{ji}/kT) + 1]}, \end{aligned} \quad (5)$$

Бозе–Эйнштейна:

$$\begin{aligned} n_{i,sr}^0 &= \frac{n_i}{[\exp(-U_{ij}/kT) - 1]_i}, \\ n_{j,sr}^0 &= \frac{n_j}{[\exp(-U_{ji}/kT) - 1]}, \end{aligned} \quad (6)$$

где  $U_{ij}$  и  $U_{ji}$  — потенциальная энергия взаимодействия ионов в растворе, Дж.;  $k$  — постоянная Больцмана, равная  $1.380662 \cdot 10^{-23}$  Дж/К;  $T$  — температура, К.

Такое количество противоречивых статистик связано с тем, что в области малого массового содержания электролита гостя в растворе его можно рассматривать именно как раствор электролита, но в области высоких его концентраций в растворе присутствуют суперкомплексы. На наш взгляд, супрамолекулярная структура хозяин—гость меняются местами и наступает зона закономерностей координационной химии, где вода — хозяин выступает как лиганд —гость. Такое состояние могут описать только различные статистические распределения. Переход от Ферми- и Бозе-квантовых частиц к классическим для указанных статистик продемонстрирован в работе [8].

Согласно уравнению (8) из работы [7]:

$$|z_j|ef_{ij}^0 = n_j \rho_{j sr}^0 = |z_i|ef_{ji}^0. \quad (7)$$

Для определения  $\rho_{j sr}^0$  и  $\rho_{i sr}^0$  подставим соотношения (4)–(6) в уравнение (2):

$$\begin{aligned} \rho_{i sr}^0 &= n_i |z_i|e \left\{ \exp\left(-\frac{U_{ij}}{kT}\right) + \frac{1}{[\exp(-U_{ij}/kT) + 1]} + \right. \\ &\quad \left. + \frac{1}{[\exp(-U_{ji}/kT) - 1]}\right\} - n_j |z_j|e \left\{ \exp\left(-\frac{U_{ji}}{kT}\right) + \right. \\ &\quad \left. + \frac{1}{[\exp(-U_{ji}/kT) + 1]} + \frac{1}{[\exp(-U_{ji}/kT) - 1]}\right\}. \quad (8) \end{aligned}$$

Учтем, что в растворе хозяина соблюдается условие электронейтральности:

$$n_i |z_i|e + n_j |z_j|e \quad .(9)$$

Используя (9), из (8), после некоторых преобразований, получаем:

$$\begin{aligned} \rho_{j sr}^0 &= n_j |z_j|e \left[ \operatorname{th}(U_{ij}/2kT) - 2\operatorname{sh}(U_{ij}/kT) - \right. \\ &\quad \left. - \operatorname{cth}(U_{ij}/2kT) \right]; \\ \rho_{i sr}^0 &= n_i |z_i|e \left[ \operatorname{th}(U_{ji}/2kT) - 2\operatorname{sh}(U_{ji}/kT) - \right. \\ &\quad \left. - \operatorname{cth}(U_{ji}/2kT) \right]. \quad (10) \end{aligned}$$

С учетом (10) соотношение (7) будет выглядеть:

$$\begin{aligned} |z_j|ef_{ij}^0 &= n_i n_j |z_j|e [\operatorname{th}(U_{ij}/2kT) - 2\operatorname{sh}(U_{ij}/kT) - \\ &\quad - \operatorname{cth}(U_{ij}/2kT)] = n_j n_i |z_i|e [\operatorname{th}(U_{ji}/2kT) - \\ &\quad - 2\operatorname{sh}(U_{ji}/kT) - \operatorname{cth}(U_{ji}/2kT)] = |z_i|ef_{ji}^0. \quad (11) \end{aligned}$$

Подставим (11) в (23) из работы [7], получим:

$$\begin{aligned} kT \nabla \cdot \ln f_{ij}^0 &= n_i n_j |z_j|e [\operatorname{th}(U_{ij}/2kT) - 2\operatorname{sh}(U_{ij}/kT) - \\ &\quad - \operatorname{cth}(U_{ij}/2kT)] \nabla \cdot U_{ij} = n_j n_i |z_i|e [\operatorname{th}(U_{ji}/2kT) - \\ &\quad - 2\operatorname{sh}(U_{ji}/kT) - \operatorname{cth}(U_{ji}/2kT)] \nabla \cdot U_{ji} = \\ &= kT \nabla \cdot \ln f_{ji}^0. \quad (12) \end{aligned}$$

Уравнение (12) выполняется только в том случае, когда потенциальная энергия взаимодействия между ионами обладает сферической симметрией. В случае электростатического поля, которое создают ионы, потенциал служит мерой взаимодействия зарядов и, в соответствии с теоремой Гаусса, в системе неподвижных зарядов потенциальное поле имеет сферическую симметрию. Переходим к нахождению  $U$  применительно

но к растворам электролитов.

Из электростатики известно, что потенциальную энергию взаимодействия двух точечных зарядов  $|z_i|e$  и  $|z_j|e$ , находящихся в растворе на расстоянии  $r_{ij}$  друг от друга вычисляют по формуле:

$$U_{ij} = \frac{1}{4\pi\epsilon_0} \cdot \frac{|z_i z_j| e^2}{\epsilon_S r_{ij}} = \frac{1}{4\pi\epsilon_0} \cdot \frac{|z_j z_i| e^2}{\epsilon_S r_{ji}} = U_{ji}. \quad (13)$$

Возвратимся к уравнению (1). С учетом (10) запишем уравнение Максвелла для электростатических полей в растворе электролита в следующем виде:

$$\begin{aligned} \operatorname{div} E^0 &= \frac{n_i |z_i|e}{\epsilon_S \epsilon_0} \left[ \operatorname{th}(U_{ij}/2kT) - \right. \\ &\quad \left. - 2\operatorname{sh}(U_{ij}/kT) - \operatorname{cth}(U_{ij}/2kT) \right]. \quad (14) \end{aligned}$$

Обозначим в уравнении (14) с учетом (13):

$$\beta = \frac{1}{4\pi\epsilon_0} \cdot \frac{|z_i z_j| e^2}{\epsilon_S kT} = \frac{1}{4\pi\epsilon_0} \cdot \frac{|z_j z_i| e^2}{\epsilon_S kT}; \quad (15)$$

$$\kappa = -\frac{n_i |z_i|e}{\epsilon_S \epsilon_0}. \quad (16)$$

В уравнение Максвелла (14) подставим выражения (15) и (16). Тогда имеем:

$$\operatorname{div} E^0 = -\kappa [\operatorname{th}(\beta/2r) - 2\operatorname{sh}(\beta/r) - \operatorname{cth}(\beta/2r)]. \quad (17)$$

Учтем, что для электростатических полей напряженность электрического поля зависит от градиента потенциала следующим образом:

$$E^0 = -\operatorname{grad} \Psi^0(r), \quad (18)$$

где  $\Psi^0(r)$  — потенциал. В этом случае с учетом (18) уравнение (17) будет выглядеть так:

$$\Delta \Psi^0(r) = \kappa [\operatorname{th}(\beta/2r) - 2\operatorname{sh}(\beta/r) - \operatorname{cth}(\beta/2r)], \quad (19)$$

при граничных условиях:

$$\frac{d\Psi^0(r)}{dr} \rightarrow 0 \quad \text{при } r \rightarrow \infty,$$

$$\Psi^0(r) \rightarrow U_{sol} + U_{vv} + U_x \quad \text{при } r \rightarrow a, \quad (20)$$

где в уравнении (19)  $\Delta$  — оператор Лапласа;  $\Psi^0(r)$  — потенциал взаимодействия межчастичных сил; в (20)  $U_{sol}$  — супрамолекулярные межчастичные силы (различные взаимодействия ион–диполь, диполь–диполь);  $U_{vv}$  — силы Ван-дер-Ваальса (ориентационное взаимодействие (эффект Къезо–

ма), индукционное взаимодействие (эффект Дебая), дисперсионное взаимодействие (эффект Лондона)) в растворе электролита;  $U_x$  — близкодействующие силы (межчастичные слабые водородные связи, связанные с проявлением принципа Паули) и отталкивательные взаимодействия;  $a$  — минимальное расстояние взаимодействия электростатических сил между ионами, нм.

На структуре потенциала взаимодействия межчастичных сил и введенных граничных условиях остановимся более подробно. Как описывалось выше, между ионами и растворителем возникают слабые близкодействующие силы сольватационных взаимодействий  $U_{sol}$  (возникновение сильных близкодействующих сил не является предметом нашего обсуждения). Исходя из данных о гидратации ионов, можно выделить три характерных зоны агрегатов хозяин—гость при росте их концентраций, последовательно перекрывающих друг друга.

В первой зоне концентраций преобладают дальнодействующие силы электростатического взаимодействия,  $\Psi_{el}^0$ . Образуются агрегаты хозяин—гость в исходной сетке воды, которые зависят от координационных чисел ионной гидратации. В растворе электролита существуют диполи, не связанные в гидратные оболочки ионов. Структура воды нарушена слегка.

Во второй зоне роста концентраций ионов значительно проявляются стерические эффекты, собственная структура воды практически разрушена и структурный переход раствора электролита во многом начинает определяться формированием супермолекул. При  $r=a$  влияние электростатических сил между ионами сводится к нулю, так как интенсивно образовываются ионные или ионно-водные кластеры и фрагменты гидратных сфер ионов и количественно раствор описывается взаимодействиями  $U_{sol}$ ,  $U_{vv}$ ,  $U_x$ .

В третьей области роста концентраций ионов молекул воды уже недостаточно для всей их внутрисферной гидратации. Образование супермолекулярных ансамблей в растворе хозяина происходит в заметной степени с образованием полимерных водных расплавов кристаллогидратов или солей, гидроксидов и кислот. При соприкосновении гидратных оболочек между собой происходит образование слабой химической связи, которая возникает с участием межчастичной водородной связи и перекрыва-

ния электронных облаков, что существенным образом влияет на физические и химические свойства такого растворителя, как вода. Структура воды полностью разрушена. Преобладают взаимодействия  $U_x$ .

В настоящее время теория межмолекулярных взаимодействий достигла больших успехов [9—24]. Неудовлетворительным остается количественное описание  $\Psi_{el}$ ,  $U_{sol}$ ,  $U_{vv}$  и  $U_x$  в концентрированных растворах электролитов в виде потенциала межчастичных взаимодействий, связывающего перечисленные взаимодействия.

*Решение уравнения для потенциала в отсутствие внешних полей.* В уравнении (19) оператор Лапласа для скалярных полей со сферической (центральной) симметрией представляет собой выражение:

$$\Delta \Psi^0(r) = \frac{1}{r} \frac{\partial^2}{\partial r^2} [r \Psi^0(r)]. \quad (21)$$

Учитывая (21) и (19), получим следующее уравнение в сферических координатах:

$$\frac{1}{r} \frac{\partial^2}{\partial r^2} [r \Psi^0(r)] = \kappa [\operatorname{th}(\beta/2r) - 2\operatorname{sh}(\beta/r) - \operatorname{cth}(\beta/2r)], \quad (22)$$

или

$$\frac{\partial}{\partial r} [r \Psi^0(r)] = \kappa \int [\operatorname{th}(\beta/2r) - 2\operatorname{sh}(\beta/r) - \operatorname{cth}(\beta/2r)] r dr. \quad (23)$$

Введем подстановки:

$$r = \beta/x; \quad dr = -\beta dx/x^2; \quad x = \beta/r. \quad (24)$$

Подставив выражения (24) в (23), получим:

$$\frac{\partial}{\partial r} [r \Psi^0(r)] = -\kappa \beta^2 \int [\operatorname{th}(x/2) - 2\operatorname{sh}x - \operatorname{cth}(x/2)] \frac{dx}{x^3}. \quad (25)$$

В квадратных скобках левой части уравнения (25) сделаем следующие преобразования:

$$\begin{aligned} \operatorname{th}(x/2) - \operatorname{cth}(x/2) &= \frac{\operatorname{sh}(x/2)}{\operatorname{ch}(x/2)} - \frac{\operatorname{ch}(x/2)}{\operatorname{sh}(x/2)} = \\ &= \frac{\operatorname{sh}^2(x/2) - \operatorname{ch}^2(x/2)}{\operatorname{ch}(x/2) \operatorname{sh}(x/2)} = \\ &= \frac{1}{2 \operatorname{ch}(x/2) \operatorname{sh}(x/2)} = -\frac{2}{\operatorname{sh}x}. \end{aligned} \quad (26)$$

Далее примем во внимание оставшийся член

$-2\operatorname{sh}x$  и осуществим упрощения в квадратных скобках левой части выражения (25):

$$-2(\operatorname{sh}x + \frac{1}{\operatorname{sh}x}) = -2 \frac{1 + \operatorname{sh}^2 x}{\operatorname{sh}x} = -\frac{2\operatorname{ch}^2 x}{\operatorname{sh}x}. \quad (27)$$

С учетом равенств (24) и (27) возвращаемся к (25) и после некоторых преобразований имеем:

$$\frac{\partial}{\partial r}[r\Psi^0(r)] = 2\kappa\beta^2 \int \frac{\operatorname{ch}^2 x}{\operatorname{sh}x} \frac{dx}{x^3}. \quad (28)$$

Интеграл правой части (28) вычисляем по частям. Принимаем  $U=1/x^3$ , откуда

$$dU = -\frac{3dx}{x^4}; \quad V = \int \frac{\operatorname{ch}^2 x}{\operatorname{sh}x} dx = \operatorname{ch}x + \ln|\operatorname{th}\frac{x}{2}|.$$

Во всех случаях интегрирования используем таблицы интегралов [25].

Переходим к правой части уравнения (28) и после некоторых преобразований получаем:

$$2\kappa\beta^2 \int \frac{\operatorname{ch}^2 x}{\operatorname{sh}x} \frac{dx}{x^3} = 2\kappa\beta^2 \left[ \frac{\operatorname{ch}x}{x^3} + \frac{\ln|\operatorname{th}x/2|}{x^3} + 3 \int (\operatorname{ch}x + \ln|\operatorname{th}x/2|) \frac{dx}{x^4} \right]. \quad (29)$$

Каждый интеграл правой части (29) будем рассматривать по отдельности.  $\int \frac{\operatorname{ch}x}{x^4} dx$  интегрируем по частям. Принимаем  $U=\operatorname{ch}x$ ,  $dU=\operatorname{sh}x dx$ ,  $V=\int \frac{dx}{x^4}=-\frac{1}{3x^3}$ . Учитываем эти выражения в рассматриваемом интеграле:

$$\int \frac{\operatorname{ch}x}{x^4} = -\frac{\operatorname{ch}x}{3x^3} + \frac{1}{3} \int \frac{\operatorname{sh}x}{x^3} dx. \quad (30)$$

Как видно, задача упрощается. Теперь переходим к интегралу правой части уравнения (30)  $\frac{1}{3} \int \frac{\operatorname{sh}x}{x^3} dx$  и также интегрируем его по частям. Принимаем  $U=\frac{1}{x}$ ,  $dU=-\frac{dx}{x^2}$ ,  $V=\int \frac{\operatorname{sh}x}{x^2} dx^3 = \frac{\operatorname{sh}x}{x} + \ln|x| + \frac{x^2}{2\cdot2!} + \frac{x^4}{4\cdot4!} + \frac{x^6}{6\cdot6!}$ . С учетом этих выражений рассматриваемый интеграл приобретает вид:

$$\begin{aligned} & \frac{1}{3} \int \frac{\operatorname{sh}x}{x^3} dx = \\ & = \frac{1}{3} \left( -\frac{\operatorname{sh}x}{x^2} + \frac{\ln|x|}{x} + \frac{x}{2\cdot2!} + \frac{x^3}{4\cdot4!} + \frac{x^5}{6\cdot6!} + \right. \\ & \left. + \int \left( -\frac{\operatorname{sh}x}{x^3} + \frac{\ln|x|}{x^2} + \frac{1}{2\cdot2!} + \frac{x^2}{4\cdot4!} + \frac{x^4}{6\cdot6!} \right) dx \right) \end{aligned} \quad (31)$$

В уравнении (31) видно, что в левой части находится интеграл  $\frac{1}{3} \int \frac{\operatorname{sh}x}{x^3} dx$ , а в правой части  $-\frac{1}{3} \int \frac{\operatorname{sh}x}{x^3} dx$ . Переносим его в левую часть равенства, проводим интегрирование правой части (31), приведение подобных членов и получаем:

$$\frac{1}{3} \int \frac{\operatorname{sh}x}{x^3} dx = \frac{1}{6} \left( -\frac{\operatorname{sh}x}{x^2} + \frac{x}{2} + \frac{x^3}{3\cdot4!} + \frac{x^5}{5\cdot6!} + \frac{1}{x} \right). \quad (32)$$

Учитываем выражение (32) в (30) и имеем:

$$\begin{aligned} & \int \frac{\operatorname{ch}x}{x^4} dx = -\frac{\operatorname{ch}x}{3x^3} + \\ & + \frac{1}{6} \left( -\frac{\operatorname{sh}x}{x^2} + \frac{x}{2} + \frac{x^3}{3\cdot4!} + \frac{x^5}{5\cdot6!} + \frac{1}{x} \right). \end{aligned} \quad (33)$$

Переходим к вычислению последнего интеграла в уравнении (29)  $\int |\operatorname{th}x/2| dx/x^4$ . Его также решаем по частям:  $U=\ln|\operatorname{th}x/2|$ . Дифференцируем по правилу сложных функций, производим свертку гиперболических функций и после некоторых преобразований имеем:  $dU=\operatorname{csch}x dx$ ,  $dV=\int dx/x^4$ , откуда  $V=-1/x^3$ . В итоге:

$$\int |\operatorname{th}x/2| \frac{dx}{x^4} = -\frac{\ln|\operatorname{th}x/2|}{3x^3} = \frac{1}{3} \int \frac{\operatorname{csch}x}{x^3} dx. \quad (34)$$

При нахождении интеграла правой части (34) для  $\operatorname{csch}x$  используем разложение в ряд:

$$\operatorname{csch}x = \frac{1}{x} - \frac{x}{6} + \frac{7x^3}{360} - \frac{31x^5}{15120} + \dots (x < \pi^2). \quad (35)$$

Подставляем разложение (35) в правую часть под знак интеграла (34) и интегрируем:

$$\int \frac{\operatorname{csch}x}{x^3} dx = -\frac{1}{3x^3} + \frac{1}{6x} + \frac{7x}{360} - \frac{31x^3}{45360}. \quad (36)$$

С учетом (36) интеграл (34) выглядит так:

$$\begin{aligned} & \int |\operatorname{th}x/2| \frac{dx}{x^4} = -\frac{\ln|\operatorname{th}x/2|}{3x^3} = -\frac{1}{9x^3} + \\ & + \frac{1}{18x} + \frac{7x}{1080} - \frac{31x^3}{136080}. \end{aligned} \quad (37)$$

Выражения (33) и (37) подставляем в (29), а затем в (28) и после различных сокращений, приведения подобных членов получим выражение:

$$\frac{\partial}{\partial r}[r\Psi^0(r)] = 2\kappa\beta^2 \left( -\frac{\operatorname{sh}x}{2x^2} + \frac{97x}{360} + \right)$$

$$+ \frac{213x^3}{34020} + \frac{x^5}{360} - \frac{1}{3x} - \frac{1}{3x^3} \Big) + C_1. \quad (38)$$

Значение константы интегрирования определяем из первого граничного условия (20):

$$C_1 = \frac{\kappa\beta^2}{x} \left( \frac{\operatorname{sh} x}{x} + \frac{19}{3} + \frac{2}{3x^2} \right). \quad (39)$$

Учитываем выражение (39) в (38) и получим:

$$r\Psi^0(r) = \frac{\kappa\beta^2}{180} \int \left( 547x + \frac{1859x^3}{126} \right) dr. \quad (40)$$

Учтем подстановки (24), интегрируем и после некоторых преобразований имеем следующее:

$$r\Psi(r) = -\frac{\kappa\beta^2}{180} \left( 547 \ln\beta_r + \frac{1859}{252} \beta_r^2 \right) + C_2, \quad (41)$$

где  $\beta_r = \beta/r$ .

Константу интегрирования  $C_2$  находим, используя второе граничное условие (20):

$$C_2 = \frac{\kappa\beta^2}{180} \left( 547 \ln\beta_a + \frac{1859}{252} \beta_a^2 \right) + a(U_{sol} + U_{vv} + U_x), \quad (42)$$

где  $\beta_a = \beta/a$ .

Подставляем (42) в (41) и получаем выражение для потенциала межчастичных взаимодействий в растворе электролита:

$$\Psi^0 = \kappa\beta^2\Psi_{el}^0 + \frac{a}{r}(U_{sol} + U_{vv} + U_x), \quad (43)$$

где  $\Psi_{el}^0$  — электростатическая часть потенциала межчастичных взаимодействий в растворе электролита:

$$\Psi_{el}^0 = \frac{\beta_r}{180} \left[ 547 \ln(r/a) + \frac{1859}{252} (\beta_a^2 - \beta_r^2) \right]. \quad (44)$$

Оценим численные составляющие формулы (44). Для этого, например, воспользуемся данными [26]. Рассмотрим раствор LiOH—H<sub>2</sub>O при 25 °C и  $m=0.2$  моль/кг H<sub>2</sub>O. Для него  $\beta_r=0.358$ ,  $\beta_a=1.4783$ ,  $r=1.996$  нм,  $a=0.483$  нм. Исходя из этих данных:

$$\begin{aligned} \Psi_{el}^0 &= 0.358 \left[ \frac{547}{180} \ln\left(\frac{1.996}{0.483}\right) + \frac{1859}{252 \cdot 180} (1.4783^2 - \right. \\ &\quad \left. - 0.358^2) \right] = 0.358 \cdot (4.312 + 0.084). \end{aligned}$$

Из приведенного примера видно, что за малой значимостью можно пренебречь круглой скобкой в (44) и тогда:

$$\Psi_{el}^0 = \frac{547\beta_r}{189} \ln(r/a) \equiv 3\beta_r \ln(r/a). \quad (45)$$

Подобные исследования проводились для многих электролитов и выводы, сделанные в настоящем примере, были подтверждены.

**Диэлектрическая проницаемость.** Особый интерес представляет изучение межчастичных взаимодействий супермолекул и супрамолекулярных ансамблей структуры хозяин—гость, в которых растворенные ионы электролита взаимодействуют друг с другом и с молекулами воды. Характер этих взаимодействий, их энергия различны в зависимости от типа частиц и природы сил, действующих между ними. Природа межчастичных, межионных, ион-молекулярных и других сил очень сложна.

В растворе электролита все основные типы взаимодействий присущи и растворенным ионам и молекулам растворителя [9–24, 26]. Однако, поскольку обычно растворитель всегда находится в избытке, имеет место действие большого числа его молекул на один или больше растворенных ионов электролита. Это влияние имеет много особенностей, проявляющихся в тех или иных конкретных случаях и условиях. Для учета влияния растворителя на поведение частиц в растворе обычно изучают влияние среды на энергию парных взаимодействий между растворенными ионами и молекулами. Конкретным примером является учет влияния величины диэлектрической проницаемости  $\epsilon_s$  растворителя на электростатические, сольватационные и другие взаимодействия ионов (или других частиц). В разбавленных растворах величина  $\epsilon_s$  приблизительно равна диэлектрической проницаемости воды, но она не может быть принята для растворов средних и высоких концентраций, когда значение  $\epsilon_s$  резко уменьшается с ростом концентрации электролита в растворе. Это уменьшение значений статической диэлектрической константы интегрирует изменения воды в процессах гидратации и комплексообразования. Диэлектрическая проницаемость включает изменения состояния воды как при гидратации ионов, так и ионных и гидратных комплексов в растворе [27].

В течение длительного времени реальные значения  $\epsilon_s$  концентрированных растворов электролитов отсутствовали. Это связано с высокой

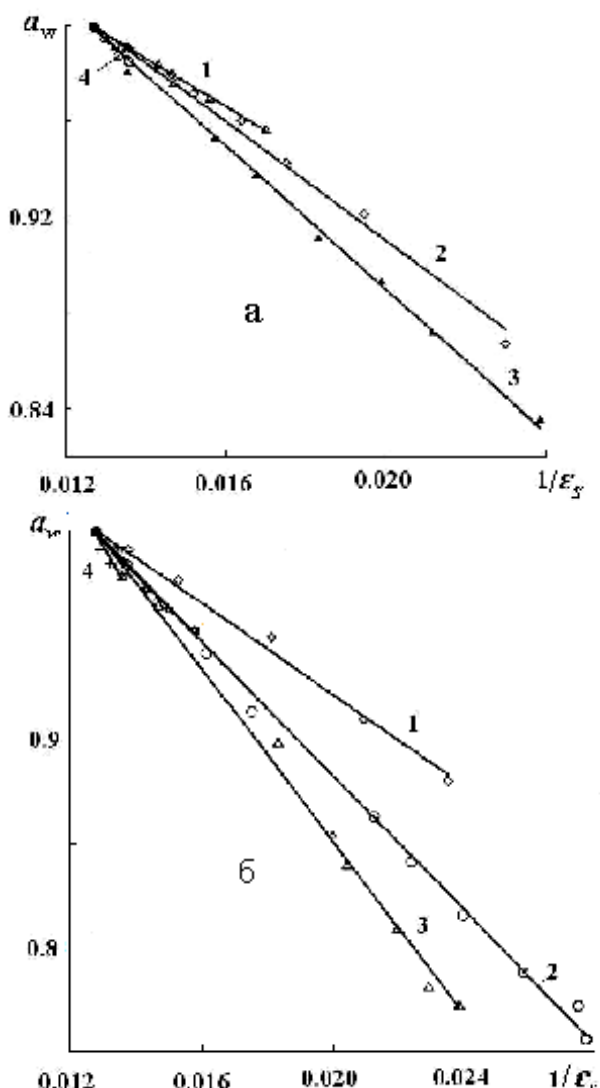
электропроводностью сильных электролитов, которая делала невозможным прямые измерения  $\epsilon_S$  на низких частотах. Достижения СВЧ-радиоэлектроники изменили данную ситуацию. При использовании современных радиотехнических средств могут быть произведены измерения диэлектрической проницаемости ( $\epsilon'$ ) и теперь ( $\epsilon''$ ) растворов электролитов на СВЧ. Из этих данных можно найти  $\epsilon_S$ . В настоящее время только в нескольких (трех или четырех) лабораториях РФ (включая ИОНХ РАН, школа А.К.Лященко) и за рубежом проводятся систематические СВЧ-исследования водных и неводных растворов электролитов в широкой области концентраций [27–32].

Термодинамическая активность воды ( $a_w$ ) также отражает суммарное изменение состояния воды в растворах электролитов и связана с диэлектрической проницаемостью раствора  $\epsilon_S$ . Авторы работ [27, 33] приводят формулу этой связи:

$$a_w = 1 + b \left( \frac{1}{\epsilon_{H_2O}} - \frac{1}{\epsilon_S} \right), \quad (46)$$

где  $b$  — константа  $>0$  и определяет особенности растворов разного состава;  $\epsilon_{H_2O}$  — диэлектрическая проницаемость воды, для 25 °C равна 78.4. К этой формуле авторы [26, 32] приводят графики зависимости  $a_w$  от  $1/\epsilon_S$ , некоторые из них показаны на рисунке.

Рассматриваемые зависимости являются прямыми линейными. При этом отклонения от линейности не превышают ошибки определений  $\epsilon_S$  из экспериментальных данных. Указанные зависимости  $a_w$  от  $1/\epsilon_S$  при 298 K присутствуют для большого числа электролитов. Данная закономерность наблюдается в широкой области концентраций растворов. В ряде случаев эти концентрации достигают высоких значений. Например, для растворов  $NaNO_3$  — вплоть до 10 моль на кг  $H_2O$ , для растворов  $LiNO_3$  — до 7.38 моль на кг  $H_2O$ . В некоторых растворах они охватывают всю область, где имеются измерения  $\epsilon_S$ . Например, это растворы  $KCl$  (до 4.6 моль на кг  $H_2O$ ),  $NaCl$  (до 5.6 моль на кг  $H_2O$ ),  $KF$  (до 5 моль на кг  $H_2O$ ),  $CsF$  (до 6 моль на кг  $H_2O$ ) и др. В других случаях рассматриваемая область меньше, чем изученный концентрационный интервал измерений  $\epsilon_S$ . Это видно для растворов  $LiCl$ . Линейная зависимость наблюдается до 5.7 моль на кг  $H_2O$ . Отклонение от линейной зависимости  $a_w$



Зависимость активности воды  $a_w$  от  $1/\epsilon_S$  растворов сульфатов щелочных металлов (a) и нитратов (б) при 298 K: 1 —  $Na_2SO_4$ ; 2 —  $Li_2SO_4$ ; 3 —  $Cs_2SO_4$ ; 4 —  $K_2SO_4$  (a); 1 —  $Cu(NO_3)_2$ ; 2 —  $NaNO_3$ ; 3 —  $LiNO_3$ ; 4 —  $KNO_3$  (б).

от  $1/\epsilon_S$  существует при больших концентрациях. В этом же интервале были обнаружены ионо-водные и ионные кластеры сложного строения, где присутствует несколько ионов [28].

Для электролитов разного типа валентности линейные зависимости наблюдаются в разных концентрационных интервалах (при максимальном отклонении  $a_w$  1.0—1.5 %). Для сульфатов K, Na, Li и Cs это 0.46, 1.29, 2.77 и 4.27 моль на кг  $H_2O$  соответственно. Они наблюдаются во всем интервале концентраций, для ко-

торых проведены измерения  $\epsilon_S$ . Для растворов  $\text{Cu}(\text{NO}_3)_2$  граница соответствует  $\sim 2$  моль на кг  $\text{H}_2\text{O}$ , для растворов  $\text{Y}(\text{NO}_3)_3$  —  $1.6$  моль на кг  $\text{H}_2\text{O}$  или несколько больше. Минимальный концентрационный предел наблюдается для растворов  $\text{MgCl}_2$  ( $\sim 1.4$ — $1.5$  моль на кг  $\text{H}_2\text{O}$ ). Молекулярные методы исследования показывают, что в тех же областях концентраций, где наблюдается отклонение от линейной зависимости  $a_w$  от  $1/\epsilon_S$  появляются сложные ионные и (или) ионно-водные группировки в растворах  $\text{Cu}(\text{NO}_3)_2$  ( $1.5$ — $3.1$  моль на кг  $\text{H}_2\text{O}$ ),  $\text{MgCl}_2$  ( $1.5$ — $2.5$  моль на кг  $\text{H}_2\text{O}$ ),  $\text{Y}(\text{NO}_3)_3$  ( $1.3$ — $2.48$  моль на кг  $\text{H}_2\text{O}$ ). Полученные зависимости в целом устанавливают связь между диэлектрической константой, структурными и молекулярно-кинетическими изменениями воды в гидратных оболочках ионов и термодинамическими характеристиками растворов [27, 33].

Итак, линейная зависимость  $a_w$  от  $1/\epsilon_S$  охватывает большую концентрационную область растворов электролитов в воде. Исходя из зависимости (46), приведенного описания и структуры рисунка задачу можно разрешить наоборот, по данным  $a_w$  и коэффициента  $b$  определить  $1/\epsilon_S$ . Тогда зависимость (46) приобретает вид:

$$\frac{1}{\epsilon_S} = \frac{1}{b} (1 - a_w) + \frac{1}{\epsilon_{\text{H}_2\text{O}}}. \quad (47)$$

Из рисунка видно, что константа  $b$  есть не что иное, как тангенс угла наклона представленных прямых линий:

$$b \equiv \operatorname{tg}\alpha = (1 - a_{w1}) / \left( \frac{1}{\epsilon_{S1}} - \frac{1}{\epsilon_{\text{H}_2\text{O}}} \right), \quad (48)$$

где  $\epsilon_{S1}$  — одно экспериментальное значение  $\epsilon_S$ , концентрации которой соответствует значение активности воды  $a_{w1}$ .

Отыскавши из (48) константу  $b$ , переходим к уравнению (47) и в диапазоне концентраций в зависимости от  $a_w$  рассчитываем значения  $1/\epsilon_S$ . Погрешность расчета лежит в пределах погрешностей измерения  $\epsilon_S$ .

Данные по активности воды для большого количества водных растворов электролитов и концентраций от разбавленных до насыщения приведены в работе [34]. Количественные соотношения для супрамолекулярных межчастичных взаимодействий представлены в работе [4].

**РЕЗЮМЕ.** Отримано потенціал міжчасткових взаємодій у концентрованих розчинах електролітів у стаціонарному стані, який ураховує електростатичні, сольватаційні (гідратаційні) взаємодії, сили Ван-дер-Ваальса і слабкі хімічні зв'язки, що виникають між гідратними оболонками.

**SUMMARY.** The potential is obtained of the interparticle interactions in concentrated electrolyte solutions in steady state taking into account electrostatic, solvation (hydration) interactions, Van-der-Waals forces and weak chemical connections occurred between hydration shells.

### ЛИТЕРАТУРА

1. Асеев Г.Г., Рыщенко И.М., Савенков А.С. // Журн. прикл. химии. -2007. -80, вып. 2. -С. 213.
2. Aseyev G.G. Electrolytes: Methods for Calculation of the Physicochemical Parameters of Multicomponent Systems. -New York-Walingford (UK): Begell House, Inc. Pub., 2001.
3. Асеев Г.Г., Рыщенко И.М., Савенков А.С. Электролиты. Физико-химические параметры концентрированных многокомпонентных систем. -Харьков: НТУ "ХПИ", 2005.
4. Асеев Г.Г. Межчастичные взаимодействия в концентрированных растворах электролитов. -Деп. ВИНТИ РАН от 28.05.2012, № 259-В 2012.
5. Лен Ж.-М. Супрамолекулярная химия: концепции и перспективы. -Новосибирск: Наука, 1998.
6. Стид Дж.Б., Этвуд Дж.Л. Супрамолекулярная химия. -М.: ИКЦ Академкнига, 2007. -Т. 1,2.
7. Асеев Г.Г. // Журн. общ. химии. -2010. -80, вып. 11. -С. 1767—1773.
8. Ландау Л.Д., Либниц Е.М. Статистическая физика. -М.: Наука, 1964.
9. Смирнова Н.А. Молекулярные теории растворов. -Л.: Химия, 1987.
10. Преждо В.В., Крайнов Н.П. Молекулярные взаимодействия и электрические свойства молекул. -Харьков: Изд-во Основа, 1994.
11. Симкин Б.Я., Шейхет И.И. Квантово-химическая и статистическая теория растворов. Вычислительные методы и их применение. -М.: Химия, 1989.
12. Шахпаронов М.И. Введение в современную теорию растворов (Межмолекулярные взаимодействия. Строение. Простые жидкости). -М.: Выш. шк., 1976.
13. Степанов Н.Ф. Квантовая механика и квантовая химия. -М.: Мир, 2001.
14. Еремин В.В., Каргов С.И., Успенская И.А. и др. Основы физической химии. Теория и задачи. -М.: Изд-во "Экзамен", 2005.
15. Килимник А.Б., Ярмоленко В.В. Методы определения и расчета реактивных составляющих импеданса и средних частот колебаний гидратированных ионов. -Тамбов: Изд-во ТГТУ, 2008.

- 
16. Салем Р.Р. Физическая химия. Термодинамика. -М.: Физматлит, 2004.
  17. Эткинс П. Физическая химия. -М.: Мир, 1980. -Т. 2.
  18. Кнорре Д.Г., Крылова Л.Ф., Музыкантов В.С. Физическая химия. -М.: Высш. шк., 1990.
  19. Гуров А.А., Бадаев Ф.З., Овчаренко Л.П. Химия. -М.: Изд-во МГТУ им. Н.Э.Баумана, 2004.
  20. Маррелл Дж., Кеттл С., Теддер Дж. Химическая связь. -М.: Мир, 1980.
  21. Каплан И.Г. Введение в теорию межмолекулярных взаимодействий. -М.: Наука, 1982.
  22. Сечкарев Б.А., Титов Ф.В. Химическая связь. -Кемерово: Кузбассвузиздат, 2006.
  23. Танганов Б.Б. Взаимодействия в растворах электролитов: моделирование сольватационных процессов, равновесий в растворах полиэлектролитов и математическое прогнозирование свойств химических систем. -М.: Академия естествознания, 2009.
  24. Бараши Ю.С. Силы Ван-дер-Ваальса. -М.: Наука, 1988.
  25. Двойт Г.Б. Таблицы интегралов и другие математические формулы. -М.: Наука, 1977.
  26. Aseyev G.G. Elektrolites: Interparticle Interactions. Theory, Calculation Methods, and Experimental Data. -New York-Walingford (UK): Begell House, Inc. Pub., 1998.
  27. Лященко А.К., Карапаева И.М. // Журн. физ. химии. -2010. -**84**, № 2. -С. 376—384.
  28. Lyashchenko A.K., Zasetsky A.Yu. // J. Mol. Liquids. -1998. -**77**. P. 61—75.
  29. Lileev A.S., Balakaeva I.V., Lyashchenko A.K. // Ibid. -2001. -**87**. -P. 11—20.
  30. Лилеев А.С., Лященко А.К., Харькин В.С. // Журн. неорг. химии. -1992. -**37**, № 10. -С. 2287—2291.
  31. Lyashchenko A.K. // Adv. Chem. Phys. -1994. -**87**. -P. 379—426.
  32. Lyashchenko A.K. // J. Mol. Liquids. -2001. -**91**. -P. 21—31.
  33. Лященко А.К., Карапаева И.М. // Докл. Академии наук РФ. -2007. -**414**, № 3. -С. 357—359.
  34. Aseyev G.G. Electrolytes, Equilibria in Solutions and Phase Equilibria: Calculation of Multicomponent Systems and Experimental Data on the Activities of Water, Pressure Vapor and Osmotic Coefficients. -New York-Wallingford (U.K): Begell House, Inc. Pub., 1998.

Научно-исследовательский и проектный институт  
основной химии, Харьков

Поступила 23.12.2011